

## ФОРМИРОВАНИЕ ПСЕВДОСЛУЧАЙНОГО МАССИВА С ЗАДАННЫМ ЗАКОНОМ РАСПРЕДЕЛЕНИЯ НА ОСНОВЕ ОПЕРАЦИИ ЭКВАЛИЗАЦИИ

студент гр. 914302 Медведская Ю. И.

Научный руководитель - канд. техн. наук Ролит О. Ч.

Белорусский государственный университет информатики и радиоэлектроники  
Минск, Беларусь

В прикладной криптографии и стеганографии, моделировании сигналов, технических систем и их статистических испытаниях актуальна задача быстрого генерирования псевдослучайных стационарных последовательностей с заданным законом распределения [1, 2]. Данную задачу удобно решать на базе операции эквализации входных сигналов датчиков, в особенности, их шума.

В качестве входного сигнала как источника шума выбирается поток данных от MEMS-акселерометра. Это обусловлено конструктивными особенностями современных MEMS-акселерометров и, как следствие, их высокой чувствительностью к постоянной окружающей вибрации за счёт процессов различного рода жизнедеятельности, погодных изменений и гравитации [3].

Алгоритм формирования псевдослучайной последовательности путём выравнивания закона распределения сигнала от датчика рассматривается на примере равномерной эквализации [4].

На рисунке 1 изображены входной сигнал  $s(t)$  некоторого процесса от датчика-акселерометра LIS3DSH с соответствующими гистограммами вероятности. Так как в математической модели эквализации фигурирует функция  $F(s)$  вероятности, то в решении поставленной задачи логично оперировать именно гистограммами вероятности. Одномерная и двумерная гистограммы вероятности для последовательности  $s(t)$  представлены на рисунках 1, (б) и 1, (в). Для удобства чтения двумерной гистограммы вероятности к рисунку 1, (в) прилагается цветовая палитра с вариацией цветов от фиолетового, означающего минимальное (в данном случае нулевое) значение, до розовато-белого, означающего максимальное (единичное) значение.

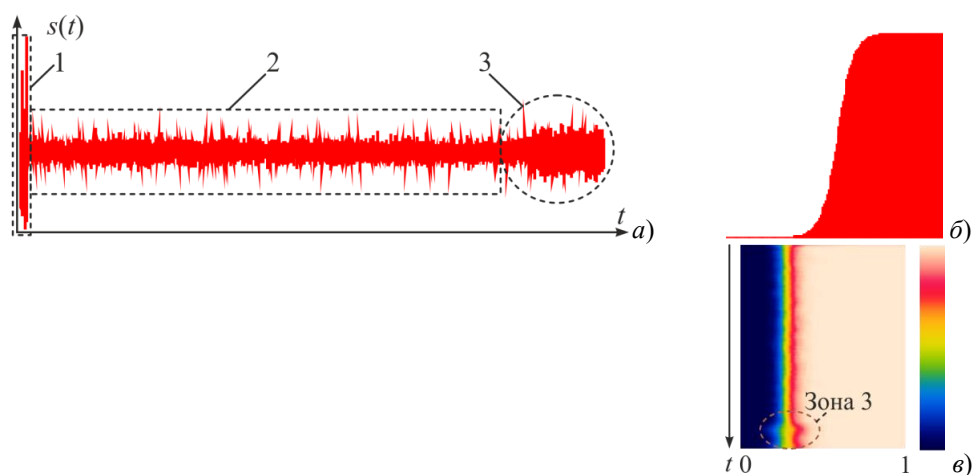


Рис 1. Входной сигнал (а) и его одномерная (б) и двумерная (в) гистограммы вероятности.

В рисунках 1, (а) и 1, (в) отчётливо выделяются три зоны: зона 2 стационарного процесса и зоны 1 и 3 переходных процессов, причём зона 3 явно шире зоны 1. На рисунке 1, (в) начало зоны 3 обозначено выраженным всплеском.

Согласно характеристике передачи уровней для равномерной эквализации [4]:

$$g(s) = F(s) \cdot (g_{\max} - g_{\min}) + g_{\min},$$

где  $g_{\min}$  и  $g_{\max}$  – соответственно минимальное и максимальное значения в генерируемой псевдослучайной последовательности, исходный (или входной) сигнал  $s(t)$  преобразуется в эквализованный сигнал  $g(t)$ , изображённый на рисунке 2, (а).

Гистограмма вероятности эквализованного сигнала  $g(t)$  выровнялась и приняла требуемый, соответствующий в данном случае равномерному распределению вид (см. рисунок 2, (б)). Стационарность эквализованного процесса не изменилась – он остался нестационарным с заметной, заключённой в штрихпунктирный прямоугольник на рисунке 2, (а) зоной 3 рисунка 1, (а). Нестационарность эквализованного процесса подтверждается и двухмерной гистограммой вероятности на рисунке 2, (в), в котором прослеживается явное непостоянство во времени ширины вероятностных уровней. Наиболее важным результатом операции эквализации является формирование числового набора, удовлетворяющего заданному закону распределения.

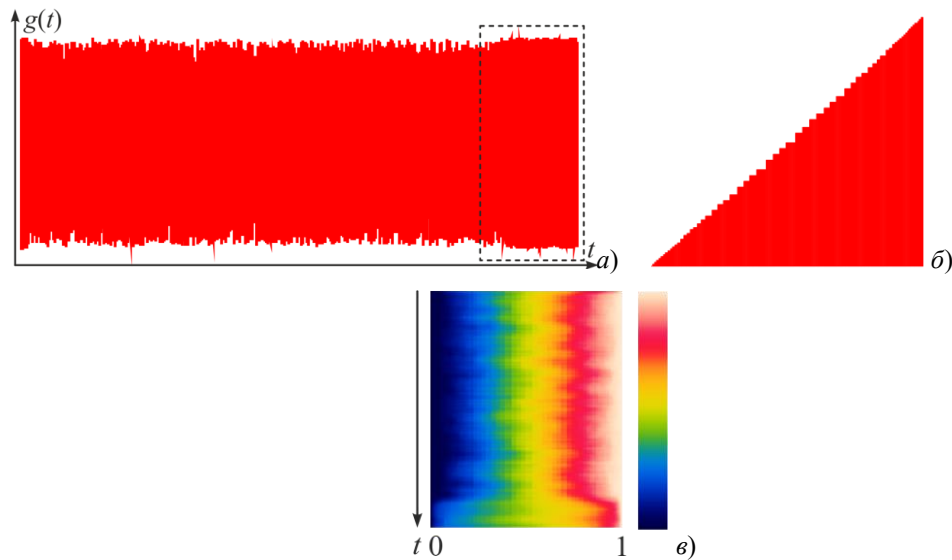


Рис 2. Эквализованный сигнал (а) и его одномерная (б) и двухмерная (в) гистограммы вероятности.

Несмотря на выровненную гистограмму вероятности, что на рисунке 2, (б), многие числа в полученной последовательности близки друг к другу, о чём свидетельствует гистограмма распределения плотности на рисунке 3, (б).

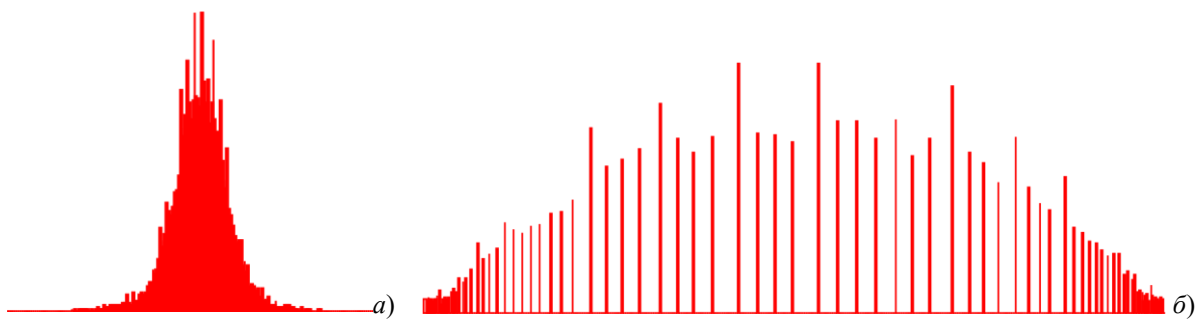


Рис 3. Гистограмма плотности уровней числовой последовательности до эквализации (а) и после неё (б).

Для дифференциации чисел формируемой последовательности разработан алгоритм дополнительного выравнивания, предназначенный, в первую очередь, для выравнивания гистограммы плотности уровней. Результат предложенного алгоритма дополнительного выравнивания гистограммы плотности представлен на рисунке 4.

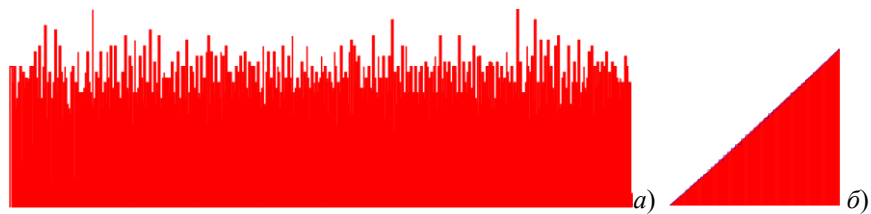


Рис 4. Гистограмма плотности (а) и вероятности (б) после действия алгоритма дополнительного выравнивания.

По сравнению с гистограммой плотности на рисунке 3, (б), гистограмма рисунка 4, (а) после действия алгоритма дополнительного выравнивания стала подобной на гистограмму заданного равномерного распределения. При этом выровнялась и гистограмма вероятности, приняв более сглаженный по сравнению с рисунком 2, (б) вид.

Однако соответствующая выровненным гистограммам числовая последовательность осталась нестационарной. Для приведения её к стационарному виду проводится двухэтапная перегруппировка, включающая сортировку «выровненной» последовательности и её непосредственную перегруппировку. Результирующая перегруппированная псевдослучайная последовательность и её двумерная гистограмма вероятности изображены на рисунке 5.

Следует отметить, что вид двумерной гистограммы вероятности окончательно сформированной псевдослучайной последовательности указывает на её стационарность.

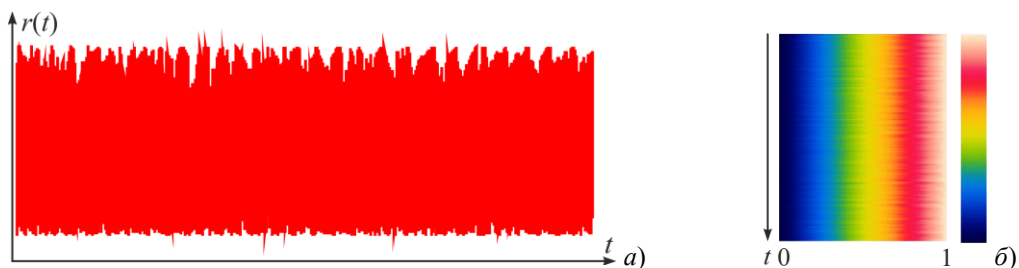


Рис 5. Результирующая псевдослучайная числовая последовательность (а) и его двумерная (б) гистограмма вероятности.

Таким образом, предложенный способ формирования псевдослучайного массива с заданным законом распределения на основе операции эквализации позволяет генерировать стационарные псевдослучайные последовательности с выровненными гистограммами вероятности и плотности распределения уровней.

### Литература

1. Будько, М. Б. Методы генерации и тестирования случайных последовательностей / М. Б. Будько, М. Ю. Будько, А. В. Гирик, В. А. Грозов. – СПб: Университет ИТМО, 2019. – 70 с. – [Электронный ресурс]. – 2020. – Режим доступа: <https://books.ifmo.ru/file/pdf/2474.pdf>.
2. Урбанович, П. П. Защита информации методами криптографии, стеганографии и обфускации : учеб.-метод. пособие / П. П. Урбанович. – Минск: БГТУ, 2016. – 220 с. – [Электронный ресурс]. – 2020. – Режим доступа: [https://elib.belstu.by/bitstream/123456789/23763/3/Urbanovich\\_zashhita.pdf](https://elib.belstu.by/bitstream/123456789/23763/3/Urbanovich_zashhita.pdf).
3. Одинец А. И. Датчики МЭМС для управления и диагностирования автомобиля // А. И. Одинец, Л. Д. Фёдорова / Омский научный вестник. – 2015. – № 2 (140). – С. 177 – 179. – [Электронный ресурс]. – 2020. – Режим доступа: [https://www.omgtu.ru/general\\_information/media\\_omgtu/journal\\_of\\_omsk\\_research\\_journal/files/arhiv/2015/2\(140\)/177-184\\_Tekhnicheskie\\_nauki\\_C.7.pdf](https://www.omgtu.ru/general_information/media_omgtu/journal_of_omsk_research_journal/files/arhiv/2015/2(140)/177-184_Tekhnicheskie_nauki_C.7.pdf).
4. Калацкая, Л. В. Компьютерный анализ и синтез изображений: курс лекций / Л. В. Калацкая. – Минск: БГУ, 2008. – 101 с.